

# γ 射线发射几率及其不确定度 \*

黄小龙<sup>1</sup> 于伟翔<sup>1</sup> 卢涵林<sup>1</sup> 周春梅<sup>1</sup> 吴振东<sup>1</sup> 霍俊德<sup>2</sup>

1 (中国原子能科学研究院 中国核数据中心 北京 102413)

2 (吉林大学物理系 长春 130023)

**摘要** 详细介绍了 γ 射线绝对强度的各种计算方法, 重点分析了 γ 射线绝对强度的不确定度, 并给出了其不确定度的相关计算公式。对影响 γ 射线绝对强度不确定度的因素做了详细讨论, 首次明确了不确定度计算过程中的“误差二次计算”、“ $I_\gamma = 100$ ”等问题。

**关键词** 核衰变 γ 射线 发射几率 不确定度

## 1 引言

γ 射线绝对强度又叫 γ 射线发射几率, 常用  $P_\gamma$  表示, 是指母核 100 次衰变的 γ 射线发射几率。它是一种非常重要的基础核数据, 在核科学基础研究和核工程应用中有广泛影响, 具有极其重要意义, 因此, 推荐精确的  $P_\gamma$  及其不确定度是非常必要的。

为了得到 γ 射线绝对强度, 实验上需要优秀的探测系统与先进的测量技术, 对短寿命和具有几种衰变方式(如某一放射性核素同时有  $\beta^-$  和轨道电子俘获  $\epsilon$  衰变)的放射性核素而言, 实验测量的困难就更大一些; 除此之外, 源的纯度也是非常重要的, 例如,  $\beta^-$  衰变的放射性核素, 若样品中有其它的化学或同位素成份, 则在测量的  $\beta$  谱中就很难扣除这些杂质。因此, 在放射性核素衰变数据测量中, 多数情况下进行的是 γ 射线相对强度的测量, 而 γ 射线绝对强度通常是由核衰变数据评价者给出。

在核衰变数据评价中, 评价者根据实验测量的 γ 射线相对强度和该放射性核素的衰变纲图, 通过数据分析与评价(有时还要作一些假设)给出对应 γ 射线相对强度的归一化因子  $N$ , 利用该归一化因子就可以得到所需 γ 射线的绝对强度。这种方法就是通常所说的纲图平衡法。由这种方法得到的 γ 射线绝对强度, 其准确度不仅取决于所选用的 γ 射线相

对强度, 而且也取决于衰变纲图或有关假设, 因此, 对这种 γ 射线的绝对强度  $P_\gamma$ , 合理地估算其不确定度就显得非常重要, 也非常必要。

## 2 基本计算公式

考虑某放射性核素, 设该放射性核素的衰变分支比为  $B$ (若该放射性核素只有一种衰变方式, 则  $B = 100$ ), 由母核直接衰变至子核基态的衰变强度为  $g$ , 则第 1 条 γ 射线的绝对强度为

$$P_{\gamma_1} (\%) = N \cdot I_1 = \frac{(B - g) I_1}{\sum_j T_j} = \frac{I_1}{\sum_j \frac{1}{(B - g)} T_j}, \quad (1)$$

$$T_j = I_j (1 + \alpha_j). \quad (2)$$

式中  $\alpha_j$  是第  $j$  条 γ 射线的内转换系数,  $I_j$  为对应的 γ 射线相对强度, 求和是对该衰变模式下所有衰变到基态的 γ 射线。特别地, 当  $I_1 = 1$  时, (1) 式就变成通常归一化因子  $N$  的计算公式。

第 1 条 γ 射线绝对强度的不确定度为  $dP_{\gamma_1} (\%)$ , 其相对值为  $dP_{\gamma_1} (\%) / P_{\gamma_1} (\%)$ , 根据误差传递公式, 将  $dP_{\gamma_1} (\%) / P_{\gamma_1} (\%)$  按泰勒级数展开, 并取其第一项, 则

$$\frac{dP_{\gamma_i}(\%)}{P_{\gamma_i}(\%)} = \sqrt{A_l + B_l \cdot \left(\frac{dI_l}{I_l}\right)^2 + C_l + \left(\frac{dB}{B-g}\right)^2 + \left(\frac{dg}{B-g}\right)^2}, \quad (3)$$

$$A_l = \frac{\sum_j dT_j^2 (1 - \delta_{jl})}{\left(\sum_j T_j\right)^2}, \quad (4)$$

$$B_l = \frac{\left(\sum_j T_j (1 - \delta_{jl})\right)^2}{\left(\sum_j T_j\right)^2}, \quad (5)$$

$$C_l = \left( \frac{\sum_j d\alpha_j \delta_{jl}}{\sum_j T_j} I_l \right)^2. \quad (6)$$

式中  $\delta_{jl}$  为  $\delta$  符号.

公式(1)和(3)是计算  $\gamma$  射线绝对强度及其不确定度的基本公式, 若已知归一化因子  $N$  (例如通过绝对测量可以得到  $N$ ), 这时相应的计算公式可简化为

$$P_{\gamma_i}(\%) = N \cdot B \cdot I_l, \quad (7)$$

$$dP_{\gamma_i}(\%)/P_{\gamma_i}(\%) = \sqrt{\frac{dN^2}{N^2} + \frac{dB^2}{B^2} + \frac{d(I_l)^2}{(I_l)^2}}. \quad (8)$$

在特别情况下, 若该放射性核素只有一种衰变, 此时  $B = 100$ , 相应地

$$P_{\gamma_i}(\%) = N \cdot I_l, \quad (9)$$

$$dP_{\gamma_i}(\%)/P_{\gamma_i}(\%) = \sqrt{\frac{dN^2}{N^2} + \frac{d(I_l)^2}{(I_l)^2}}. \quad (10)$$

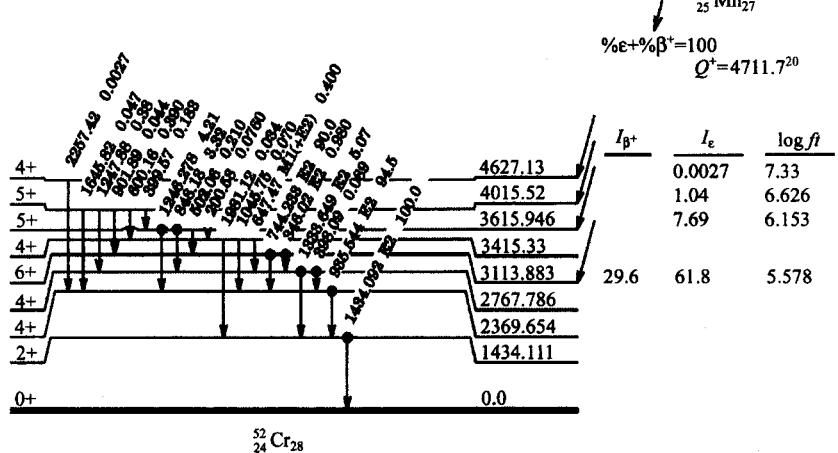


图 1  $^{52}\text{Mn}$   $\epsilon$  衰变纲图

### 3 应用

大多数情况下,  $\gamma$  射线绝对强度  $P_\gamma$  需要通过计算才能得到(绝对测量除外), 此时, 就必须先计算出归一化因子  $N$ . 以前用归一化因子  $N$  计算  $\gamma$  射线绝对强度时, 对参加计算归一化因子  $N$  的那些  $\gamma$  射线, 其相对强度的不确定度都被加以考虑, 其结果是该  $\gamma$  射线绝对强度的不确定度被估算大了, 即所谓的“误差二次计算”, 因此在计算归一化因子  $N$  时, 其相对强度的不确定度已被使用过一次. 从(3)式可以看出, 在整个计算过程中, 该  $\gamma$  射线相对强度的不确定度只被计算了一次, 因此,  $\gamma$  射线绝对强度的不确定度采用(3)式计算才算合理, 而不能像以前那样先计算出归一化因子  $N$  再通过  $N$  计算出  $\gamma$  射线绝对强度的不确定度, 即采用(7)–(10)式. (7)–(10)式只适合于绝对测量或已用其他方法已先计算出归一化因子  $N$ .

归一化因子  $N$  的计算通常采用纲图平衡法, 这种方法依赖于核衰变纲图或有关假设, 不同情况下有不同的计算方法, 相应地,  $\gamma$  射线绝对强度不确定度的计算也会有不同的估算方法, 下面以具体例子分别加以讨论.

#### 3.1 只有一条 $\gamma$ 射线跃迁至基态并且 $I_{\beta^-}$ (基态) = 0

在某些特殊情况下, 母核只有一条  $\gamma$  射线跃迁至子核基态, 并且  $I_{\beta^-}$  (基态) = 0, 同时, 该  $\gamma$  射线能量较高, 相应地其内转换系数极小, 此时, 可以近似认为  $P_\gamma = 100$ , 其不确定度为零. 例如  $^{52}\text{Mn}$  衰变

(见图1)。

考虑 $\gamma(1434.092\text{keV})$ 射线,只有一条 $\gamma$ 射线跃迁至基态,内转换系数 $\alpha = 7.8 \times 10^{-5}$ ,极小,可以忽略不计, $I_{\beta^-}$ (基态)=0,即 $g=0$ ,同时,只有一种衰变方式,衰变分支比 $B=100$ ,此时推荐数据的不确定度很小,可以看作零,因此,本工作评价推荐 $P_\gamma(1434.092\text{keV})=100$ . 表1给出了本工作与NDS<sup>[1]</sup>的比较。

表1 本评价推荐<sup>52</sup>Mn  $\epsilon$ 衰变的主要 $P_\gamma$ 与NDS的比较

辐射类型	本评价	NDS <sup>[1]</sup>
$P_\gamma(1434.092\text{keV})$	100	$100 \pm 0.6$

### 3.2 $\gamma$ 射线强度平衡法

$\gamma$ 射线强度平衡法就是根据公式(1)和(3)对 $\gamma$ 射线绝对强度及其不确定度进行计算,其基本思想是 $N \cdot \sum I(\gamma + ce)(\text{至基态}) + I_{\beta^-}(\text{基态}) = 100$ (ce表示内转换电子),实际过程中大体可分为3种情况: $I_{\beta^-}(\text{基态})=0$ , $I_{\beta^-}(\text{基态}) \neq 0$ 和 $I_{\beta^-}(\text{基态})$ 不确定,下面以实例分别作一简单介绍。

(1)  $I_{\beta^-}$ (基态)=0

以<sup>85m</sup>Kr衰变为例(见图2),<sup>85m</sup>Kr有两种衰变,即IT和 $\beta^-$ 衰变。考虑 $\beta^-$ 衰变,衰变分支比 $B=78.6 \pm 0.4$ , $\beta^-$ 跃迁至<sup>85</sup>Rb的基态是二级禁戒跃迁, $I_{\beta^-}(\text{基态}) \leq 2.5 \times 10^{-6}$ ,可以近似认为 $I_{\beta^-}(\text{基态})=0$ ,即 $g=0$ ,跃迁至基态的所有 $\gamma$ 射线列于表2。

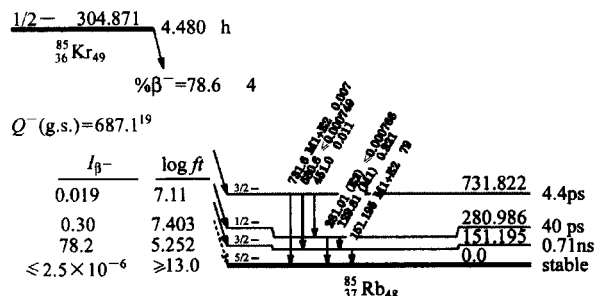


图2 <sup>85m</sup>Kr  $\beta^-$ 衰变图

表2 <sup>85m</sup>Kr  $\beta^-$ 衰变跃迁至基态所有 $\gamma$ 射线的相关数据表<sup>[2]</sup>

能量 $E_\gamma/\text{keV}$	相对强度 $I_\gamma$	多极性与内转换系数 $\alpha$	跃迁强度 $T$ ( $= I_\gamma \cdot (1 + \alpha)$ )
151.195	1000	M1 + E2, $\alpha = 0.0489 \pm 0.0009$	$1048.9 \pm 0.9$
281.01	$\leq 0.01$	(E2), $\alpha = 0.0231 \pm 0.0007$	$\leq 0.01$
731.6	$0.10 \pm 0.04$	M1 + E2, $\alpha = 0.00106 \pm 0.00001$	$0.10 \pm 0.04$

考虑主要 $\gamma$ 射线,根据公式(1), $P_\gamma(151.195\text{keV})=74.9$ ,根据(3)式, $dP_\gamma(151.195\text{keV})=0.4$ ,因此,

本工作评价推荐的 $P_\gamma(151.195\text{keV})=74.9 \pm 0.4$ ,该误差主要来自衰变分支比 $B$ 的误差。表3给出了本工作与NDS<sup>[3]</sup>的比较,在NDS评价中,除了衰变分支比的误差外,作者还考虑了 $\gamma(151.195\text{keV})$ 射线相对强度的误差(即 $1000 \pm 5$ ),我们认为,实验上作为其他 $\gamma$ 射线相对强度归一用的 $\gamma$ 射线,其相对强度(通常被指定为100)不带误差才算合理的,这就是通常所说的“ $I_\gamma=100$ ”问题。

表3 本评价推荐<sup>85m</sup>Kr  $\beta^-$ 衰变的主要 $P_\gamma$ 与NDS的比较

辐射类型	本评价	NDS <sup>[3]</sup>
$P_\gamma(151.195\text{keV})$	$74.9 \pm 0.4$	$75 \pm 5$

(2)  $I_{\beta^-}$ (基态) $\neq 0$

以<sup>197</sup>Pt  $\beta^-$ 衰变为例(见图3),该衰变只有一种衰变,衰变分支比 $B=100$ , $\beta^-$ 跃迁至<sup>197</sup>Au基态的强度根据实验测量 $I_{\beta^-}$ (基态)= $10.6 \pm 2.8$ <sup>[4]</sup>,因此, $g=10.6 \pm 2.8$ ,跃迁至基态的所有 $\gamma$ 射线列于表4。

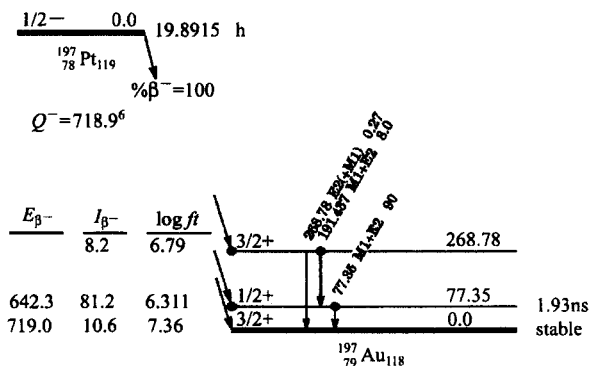


图3 <sup>197</sup>Pt  $\beta^-$ 衰变图

表4 <sup>197</sup>Pt  $\beta^-$ 衰变跃迁至基态所有 $\gamma$ 射线的相关数据表<sup>[5]</sup>

能量 $E_\gamma/\text{keV}$	相对强度 $I_\gamma$	多极性与内转换系数 $\alpha$	跃迁强度 $T$ ( $= I_\gamma \cdot (1 + \alpha)$ )
77.35	$465 \pm 45$	M1 + E2, $\alpha = 4.24 \pm 0.07$	$2436.6 \pm 238.0$
191.437	100	M1 + E2, $\alpha = 1.17 \pm 0.04$	$217 \pm 4$
268.78	$6.3 \pm 0.6$	E2 + (M1), $\alpha = 0.157 \pm 0.013$	$7.3 \pm 0.7$

根据公式(1)和(3),表4中3条 $\gamma$ 射线的发射几率 $P_\gamma$ 及其不确定度计算如下:

$$P_\gamma(77.35\text{keV}) = (100 - 10.6) \cdot 465 / (2436.6 + 7.3) = 17.01, \quad (11)$$

$$dP_\gamma(77.35\text{keV})/P_\gamma(77.35\text{keV}) =$$

$$[A + B \cdot (45/465)^2 + C + 0^2 / (100 - 10.6)^2 + 2.8^2 / (100 - 10.6)^2]^{1/2} = [0.7^2 / 2443.9^2 + 7.3^2 / 2443.9^2 \cdot 45^2 / 465^2 + (0.07 \cdot 465 / 2443.9)^2 +$$

$$0 + 2.8^2/89.4^2]^{1/2} = 0.03. \quad (12)$$

因此,  $P_\gamma(151.195\text{keV}) = 17.0 \pm 0.5$ ,

$$P_\gamma(191.437\text{keV}) = (100 - 10.6) \cdot 100/(2436.6 + 7.3) = 3.66, \quad (13)$$

$$\begin{aligned} dP_\gamma(191.437\text{keV})/P_\gamma(191.437\text{keV}) &= \\ [A + B \cdot (0/100)^2 + C + 0^2/(100 - 10.6)^2 + 2.8^2/(100 - 10.6)^2]^{1/2} &= [(0.7^2 + 238^2)/2443.9^2 + 1 \cdot 0 + 0 + 2.8^2/89.4^2]^{1/2} = 0.10. \end{aligned} \quad (14)$$

因此,  $P_\gamma(151.195\text{keV}) = 3.7 \pm 0.4$ ,

$$P_\gamma(268.78\text{keV}) = (100 - 10.6) \cdot 6.3/(2436.6 + 7.3) = 0.23, \quad (15)$$

$$\begin{aligned} dP_\gamma(268.78\text{keV})/P_\gamma(268.78\text{keV}) &= \\ [A + B \cdot (0.6/6.3)^2 + C + 0^2/(100 - 10.6)^2 + 2.8^2/(100 - 10.6)^2]^{1/2} &= [238^2/2443.9^2 + 2436.6^2/2443.9^2 \cdot 0.6^2/6.3^2 + (0.013 \cdot 6.3/2443.9)^2 + 0 + 2.8^2/89.4^2]^{1/2} = 0.14. \end{aligned} \quad (16)$$

因此,  $P_\gamma(151.195\text{keV}) = 0.23 \pm 0.03$ .

表 5 给出了本工作与 NDS<sup>[5]</sup> 的比较. 从表中可以看出, 考虑“误差二次计算”问题后,  $P_\gamma(77.35\text{keV})$  的不确定度有了较大降低, 因为在 NDS 评价中,  $P_\gamma(77.35\text{keV})$  相对强度的误差被计算了两次, 一次是在归一化因子  $N$  的计算过程中, 另一次则是在用归一化因子  $N$  计算其  $\gamma$  射线的发射几率过程中.

表 5 本评价推荐<sup>197</sup>Pt  $\beta^-$ 衰变的主要  $P_\gamma$  与 NDS 的比较

辐射类型	本评价	NDS <sup>[5]</sup>
$P_\gamma(77.35\text{keV})$	$17.0 \pm 0.5$	$17.0 \pm 2.4$
$P_\gamma(191.437\text{keV})$	$3.7 \pm 0.4$	$3.7 \pm 0.4$
$P_\gamma(268.78\text{keV})$	$0.23 \pm 0.03$	$0.23 \pm 0.04$

### (3) $I_{\beta^-}$ (基态) 不确定

在某些特殊情况下, 实验测量只能确定母核直接衰变至子核基态的衰变强度上限; 或有时没有给出其具体数值, 此时, 只能根据核结构知识综合估算其上限值, 所有这些都属于  $I_{\beta^-}$  (基态) 不确定情形.

以<sup>85</sup>Sr  $\epsilon$ 衰变为例(见图 4), 该衰变只有一种衰变, 衰变分支比  $B = 100$ . 实验没有给出  $\epsilon$ 跃迁至<sup>85</sup>Rb 基态的衰变强度, 由核结构知识容易断定, 母核直接跃迁至子核基态是一级容许跃迁, 根据  $\log ft$  值可以推出  $I_e$ (基态)  $< 8$ , 实际计算过程中常取  $4 \pm 4$ , 即  $g = 4 \pm 4$ , 跃迁至基态的所有  $\gamma$  射线列于表 6.

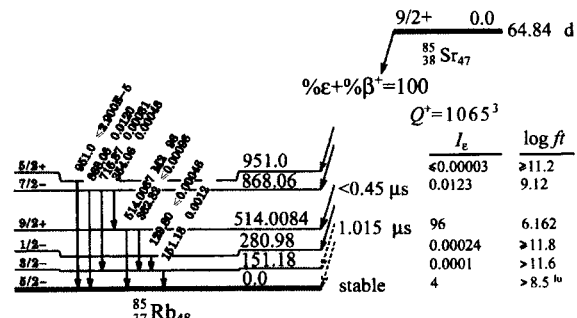


图 4 <sup>85</sup>Sr  $\epsilon$  衰变纲图

表 6 <sup>85</sup>Sr  $\epsilon$  衰变跃迁至基态所有  $\gamma$  射线的相关数据表<sup>[2]</sup>

能量 $E_\gamma/\text{keV}$	相对强度 $I_\gamma$	多极性与内转换系数 $\alpha$ ( $= I_\gamma \cdot (1 + \alpha)$ )	跃迁强度 $T$
151.18	$0.012 \pm 0.009$		$0.012 \pm 0.009$
514.0067	997	$M2, \alpha = 0.00724 \pm 0.00020$	$1004.2 \pm 0.2$
868.06	$0.125 \pm 0.005$		$0.125 \pm 0.005$
951.0	< 0.0003		< 0.0003

根据公式(1)和(3), 主要  $\gamma$  射线的发射几率  $P_\gamma$  及其不确定度计算如下:

$$P_\gamma(514.0067\text{keV}) = (100 - 4) \cdot 997/(0.012 + 1004.2 + 0.125) = 95.30, \quad (17)$$

$$\begin{aligned} dP_\gamma(514.0067\text{keV})/P_\gamma(514.0067\text{keV}) &= \\ [A + B \cdot (0/997)^2 + C + 0^2/(100 - 4)^2 + 4^2/(100 - 4)^2]^{1/2} &= [(0.009^2 + 0.005^2)/1004.337^2 + (0.012^2 + 0.125^2)/1004.337^2 \cdot 0^2/997^2 + (0.0002 \cdot 997/1004.337)^2 + 0 + 4^2/96^2]^{1/2} = 0.04. \end{aligned} \quad (18)$$

因此,  $P_\gamma(514.0067\text{keV}) = 95.3 \pm 3.8$ .

表 7 给出了本工作与 NDS<sup>[3]</sup> 的比较. 从表中可以看出, 本评价推荐的误差与 NDS 很接近, 误差的主要来源是母核直接跃迁至子核基态强度的误差, 即假定的  $I_e$ (基态) =  $4 \pm 4$ .

表 7 本评价推荐<sup>85</sup>Sr  $\epsilon$  衰变的主要  $P_\gamma$  与 NDS 的比较

辐射类型	本评价	NDS <sup>[3]</sup>
$P_\gamma(514.0067\text{keV})$	$95.3 \pm 3.8$	$96 \pm 4$

### 3.3 淹没电子法

利用实验测量的由  $\beta^+$  淹没辐射产生的 511keV  $\gamma$  射线的强度, 结合理论计算的  $\beta^+$  与轨道电子俘获之比, 来推算出归一化因子  $N$ , 进而计算出所需的  $\gamma$  射线绝对强度, 这种方法就叫淹没电子法. 下面以

$^{43}\text{Sc}$   $\epsilon$  衰变为例(见图5)做一简单介绍.

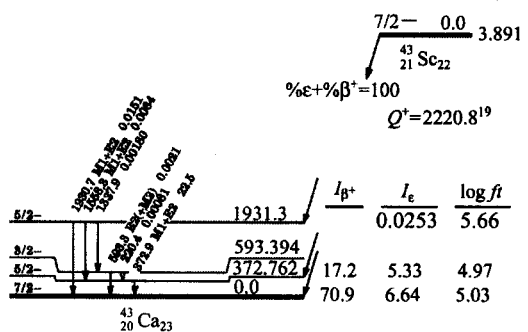


图 5  $^{43}\text{Sc}$   $\epsilon$  衰变纲图

根据 K. C. Young<sup>[6]</sup> 等人的工作,  $I_\gamma(511\text{keV}) = 783 \pm 24$ , 再根据理论计算的  $\beta^+$  与轨道电子俘获之比  $P_{\beta^+}/P_{e^+\beta^+} = 0.881 \pm 0.008$ , 容易算出归一化因子  $N$ :

$$N = [2 \cdot 100 \cdot (P_{\beta^+}/P_{e^+\beta^+})/I_\gamma(511\text{keV})] = 0.225 \pm 0.007. \quad (19)$$

考虑  $\gamma(372.9\text{keV})$  射线,  $I_\gamma(372.9\text{keV}) = 100$ , 该衰变只有一种衰变, 衰变分支比  $B = 100$ , 根据(9)和(10)式, 容易得到,

$$P_\gamma(372.9\text{keV}) = 22.5 \pm 0.7.$$

该结果与 NDS<sup>[7]</sup> 的评价推荐完全一致. 在 NDS 评价中, 作为归一用的  $\gamma(372.9\text{keV})$  射线相对强度  $I_\gamma = 100$ , 没有误差, 即注意了“ $I_\gamma = 100$ ”问题.  $\gamma$  射线发射几率的不确定度主要来自归一化因子  $N$  的不确定度.

### 3.4 X射线法

若  $\gamma$  射线的强度均为相对强度, 没有绝对测量值,  $I_{\beta^-}$  (基态) 或  $I_e$  (基态) 由于强度不容易测量也没有实验测量值, 但给出了 X 射线的强度. 内转换电子和电子俘获都可以放出 X 射线, 因此可以采用 X 射线法来给出归一化因子  $N$ , 进而用  $N$  计算出  $\gamma$  射线的绝对强度及其不确定度. 下面以  $^{174}\text{Lu}$   $\epsilon$  衰变为例(见图6)作一简单介绍.

根据 S. K. Vasilev<sup>[8]</sup> 等人的工作,  $I_{XK} = 1615.4 \pm 18.2$ , 由理论计算的  $I_{eK} = 78.0 \pm 4.8$  和  $I_{eK} = 187.3 \pm 10.2$ , 容易算出归一化因子  $N$ :

$$N = 0.0514 \pm 0.0032. \quad (20)$$

考虑  $\gamma(76.468\text{keV})$  和  $\gamma(1241.847\text{keV})$  两条  $\gamma$  射线,  $I_\gamma(76.468\text{keV}) = 115.3 \pm 5.2$ ,  $I_\gamma(1241.847\text{keV}) =$

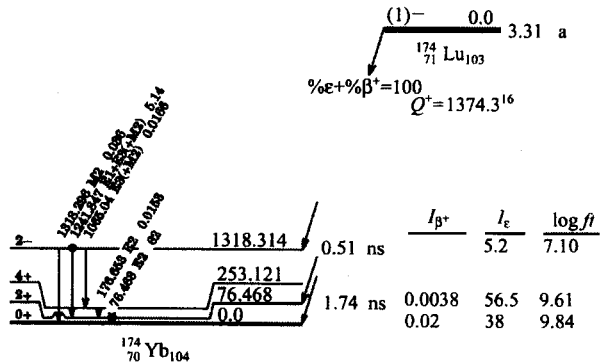


图 6  $^{174}\text{Lu}$   $\epsilon$  衰变纲图

100, 该衰变只有一种衰变, 衰变分支比  $B = 100$ , 根据(9)和(10)式, 容易得到,

$$P_\gamma(76.468\text{keV}) = 5.93 \pm 0.46,$$

$$P_\gamma(1241.847\text{keV}) = 5.14 \pm 0.32.$$

表 8 给出了本工作与 NDS<sup>[9]</sup> 的比较. 从表中可看出, 本评价推荐的不确定度与 NDS 相差较大, 本工作的不确定度主要来源于理论计算的  $I_{eK}$ ,  $XK$  射线相对强度及内转换电子强度等的误差.

表 8 本评价推荐  $^{174}\text{Lu}$   $\epsilon$  衰变的主要  $P_\gamma$  与 NDS 的比较

辐射类型	本评价	NDS <sup>[9]</sup>
$P_\gamma(76.468\text{keV})$	$5.93 \pm 0.46$	$5.9 \pm 0.3$
$P_\gamma(1241.847\text{keV})$	$5.14 \pm 0.32$	$5.14 \pm 0.13$

## 4 结束语

本文详细介绍了  $\gamma$  射线绝对强度的各种计算方法, 重点分析了  $\gamma$  射线绝对强度的不确定度, 并给出了其不确定度的相关计算公式. 大多数情况下,  $\gamma$  射线绝对强度需要通过计算才能得到, 即根据实验测量的  $\gamma$  射线相对强度和该放射性核素的衰变纲图, 利用纲图平衡法, 计算出所需  $\gamma$  射线的绝对强度. 这种方法依赖于  $\gamma$  射线相对强度、衰变纲图及有关假设, 因此, 应当合理地估算其不确定度.

由前面的计算公式及相关实例可以看出, 影响  $\gamma$  射线绝对强度不确定度的因素很多, 本文就此详细讨论了  $\gamma$  射线绝对强度不确定度的估算问题, 对影响不确定度的有关因素做了详细介绍, 首次明确了不确定度计算过程中的“误差二次计算”、“ $I_\gamma = 100$ ”等问题, 以期引起核数据工作者的高度重视.

**参考文献(References)**

- 1 HUO Jun-De. Nuclear Data Sheets, 2000, **90**:1—98  
 2 Meyer R A et al. Phys. Rev., 1980, **C21**:2590—2595  
 3 Sievers H. Nuclear Data Sheets, 1991, **62**:271—326  
 4 Prieels R, Deutsch J P. Nucl. Phys., 1971, **A167**:667—671  
 5 ZHOU Chun-Mei. Nuclear Data Sheets, 1995, **76**:399—476  
 6 Young K C et al. Phys. Rev., 1975, **C12**:567—573  
 7 Cameron J A et al. Nuclear Data Sheets, 2001, **92**:783—869  
 8 Vasilev S K et al. Izv. Akad. Nauk SSSR, Ser. Fiz., 1987, **51**:  
     1898—1907  
 9 Browne E et al. Nuclear Data Sheets, 1999, **87**:15—139

**Calculation the Absolute  $\gamma$ -Ray Intensities and Their Uncertainties\***

HUANG Xiao-Long<sup>1</sup> YU Wei-Xiang<sup>1</sup> LU Han-Lin<sup>1</sup> ZHOU Chun-Mei<sup>1</sup>  
 WU Zhen-Dong<sup>1</sup> HUO Jun-De<sup>2</sup>

1 (China Institute of Atomic Energy, Beijing 102413, China)

2 (Department of Physics, Jilin University, Changchun 130023, China)

**Abstract** Several methods for calculating absolute  $\gamma$ -ray intensities and their uncertainties are introduced briefly. Some factors which affect the uncertainties of absolute  $\gamma$ -ray intensities are discussed in detail. The problem about “error double counting” and “ $I_\gamma = 100$ ” are discussed for the first time. As an example the application is also given through nuclear decay processes.

**Key words**  $\gamma$ -ray, absolute  $\gamma$ -ray intensities, uncertainties, calculation, nuclear decay

Received 30 October 2003

\* Supported by NSFC (10305021)